

# PN-secuencias entrelazadas de polinomios diferentes

Sara D. Cardell<sup>1</sup>   Amparo Fúster Sabater<sup>2</sup>   **Verónica Requena<sup>3</sup>**

<sup>1</sup> Instituto de Matemática, Estatística e Computação Científica  
UNICAMP, Brazil

<sup>2</sup> Instituto de Tecnologías Físicas y de la Información  
C.S.I.C., Spain

<sup>3</sup> Departamento de Matemáticas  
Universidad de Alicante, Spain

RECSI 2022  
19 de octubre de 2022

PN-  
secuencias  
entre-  
lazadas de  
polinomios  
diferentes

S. D.  
Cardell,  
A. Fúster  
Sabater,  
V.  
Requena

Motivación

Preliminares

Generadores  
de  
secuencias

Entrelazando  
PN-  
secuencias

Entrelazando  
PN-secuencias  
con un único  
polinomio

Entrelazando  
PN-secuencias  
con  
polinomios  
diferentes

Comparación  
con otros  
generadores  
de  
secuencias

## 1 Motivación

## 2 Preliminares

## 3 Generadores de secuencias

## 4 Entrelazando PN-secuencias

- Entrelazando PN-secuencias con un único polinomio
- Entrelazando PN-secuencias con polinomios diferentes

## 5 Comparación con otros generadores de secuencias

PN-  
secuencias  
entre-  
lazadas de  
polinomios  
diferentes

S. D.  
Cardell,  
A. Fúster  
Sabater,  
V.  
Requena

Motivación

Preliminares

Generadores  
de  
secuencias

Entrelazando  
PN-  
secuencias

Entrelazando  
PN-secuencias  
con un único  
polinomio

Entrelazando  
PN-secuencias  
con  
polinomios  
diferentes

Comparación  
con otros  
generadores  
de  
secuencias

## 1 Motivación

## 2 Preliminares

## 3 Generadores de secuencias

## 4 Entrelazando PN-secuencias

- Entrelazando PN-secuencias con un único polinomio
- Entrelazando PN-secuencias con polinomios diferentes

## 5 Comparación con otros generadores de secuencias

PN-  
secuencias  
entrelazadas de  
polinomios  
diferentes

S. D.  
Cardell,  
A. Fúster  
Sabater,  
V.  
Requena

Motivación

Preliminares

Generadores  
de  
secuencias

Entrelazando  
PN-  
secuencias

Entrelazando  
PN-secuencias  
con un único  
polinomio

Entrelazando  
PN-secuencias  
con  
polinomios  
diferentes

Comparación  
con otros  
generadores  
de  
secuencias

► Conectividad de dispositivos de uso diario.

PN-  
secuencias  
entrelazadas de  
polinomios  
diferentes

S. D.  
Cardell,  
A. Fúster  
Sabater,  
V.  
Requena

Motivación

Preliminares

Generadores  
de  
secuencias

Entrelazando  
PN-  
secuencias

Entrelazando  
PN-secuencias  
con un único  
polinomio

Entrelazando  
PN-secuencias  
con  
polinomios  
diferentes

Comparación  
con otros  
generadores  
de  
secuencias

- ▶ Conectividad de dispositivos de uso diario.
- ▶ El internet de las cosas (IoT): e-banking, e-govern, e-health, e-commerce.

- ▶ Conectividad de dispositivos de uso diario.
- ▶ El internet de las cosas (IoT): e-banking, e-govern, e-health, e-commerce.
- ▶ **Limitaciones dispositivos IoT: potencia de procesamiento, el tamaño, la memoria, el consumo de energía y la seguridad.**

- ▶ Conectividad de dispositivos de uso diario.
- ▶ El internet de las cosas (IoT): e-banking, e-govern, e-health, e-commerce.
- ▶ Limitaciones dispositivos IoT: potencia de procesamiento, el tamaño, la memoria, el consumo de energía y la seguridad.
- ▶ Los cifrados en flujo son la base de los protocolos de comunicación y dispositivos IoT.

PN-  
secuencias  
entre-  
lazadas de  
polinomios  
diferentes

S. D.  
Cardell,  
A. Fúster  
Sabater,  
V.  
Requena

Motivación

Preliminares

Generadores  
de  
secuencias

Entrelazando  
PN-  
secuencias

Entrelazando  
PN-secuencias  
con un único  
polinomio

Entrelazando  
PN-secuencias  
con  
polinomios  
diferentes

Comparación  
con otros  
generadores  
de  
secuencias

- Los cifradores en flujo cifran bit a bit de forma individual.

- Los cifradores en flujo cifran bit a bit de forma individual.
- Cada bit de información se suma (XOR), con cada bit de la clave de cifrado.

- Los cifradores en flujo cifran bit a bit de forma individual.
- Cada bit de información se suma (XOR), con cada bit de la clave de cifrado.
- La clave debe ser lo más aleatoria posible.

- Los cifradores en flujo cifran bit a bit de forma individual.
- Cada bit de información se suma (XOR), con cada bit de la clave de cifrado.
- La clave debe ser lo más aleatoria posible.

## Problema:

La clave de cifrado ha de ser tan grande como el mensaje.

- Los cifradores en flujo cifran bit a bit de forma individual.
- Cada bit de información se suma (XOR), con cada bit de la clave de cifrado.
- La clave debe ser lo más aleatoria posible.

## Problema:

La clave de cifrado ha de ser tan grande como el mensaje.

## Solución:

Generar una clave de cifrado lo más aleatoria posible a partir de una clave pequeña → Generadores de flujo de claves.

PN-  
secuencias  
entre-  
lazadas de  
polinomios  
diferentes

S. D.  
Cardell,  
A. Fúster  
Sabater,  
V.  
Requena

Motivación

Preliminares

Generadores  
de  
secuencias

Entrelazando  
PN-  
secuencias

Entrelazando  
PN-secuencias  
con un único  
polinomio

Entrelazando  
PN-secuencias  
con  
polinomios  
diferentes

Comparación  
con otros  
generadores  
de  
secuencias

## 1 Motivación

## 2 Preliminares

## 3 Generadores de secuencias

## 4 Entrelazando PN-secuencias

- Entrelazando PN-secuencias con un único polinomio
- Entrelazando PN-secuencias con polinomios diferentes

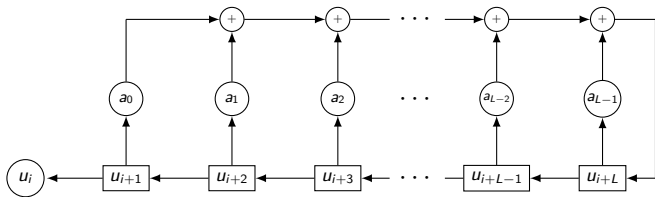
## 5 Comparación con otros generadores de secuencias

# Linear feedback shift register

## Definition

Es un registro de desplazamiento cuyo bit de entrada es una función lineal de su estado anterior.

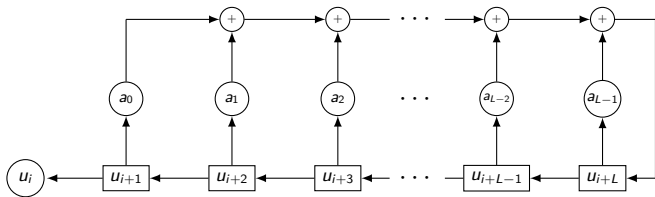
Figure: LFSR de longitud  $L$  (o LFSR con  $L$  etapas)



## Definition

Es un registro de desplazamiento cuyo bit de entrada es una función lineal de su estado anterior.

Figure: LFSR de longitud  $L$  (o LFSR con  $L$  etapas)

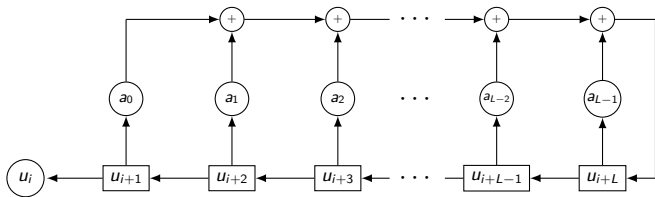


- **Clave criptográfica (semilla) → secuencia pseudoaleatoria**

## Definition

Es un registro de desplazamiento cuyo bit de entrada es una función lineal de su estado anterior.

Figure: LFSR de longitud  $L$  (o LFSR con  $L$  etapas)

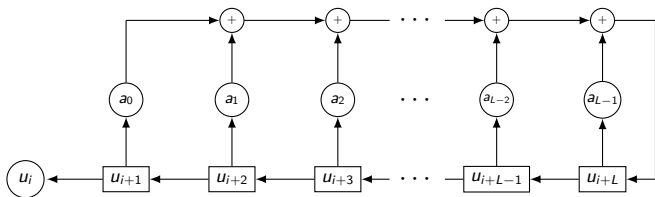


- Clave criptográfica (semilla)  $\rightarrow$  secuencia pseudoaleatoria
- Si  $p(x)$  primitivo grado  $L \rightarrow$  LFSR de longitud máxima (PN-secuencia)  
 $T = 2^L - 1$ .

## Definition

Es un registro de desplazamiento cuyo bit de entrada es una función lineal de su estado anterior.

Figure: LFSR de longitud  $L$  (o LFSR con  $L$  etapas)



- Clave criptográfica (semilla)  $\rightarrow$  secuencia pseudoaleatoria
- Si  $p(x)$  primitivo grado  $L \rightarrow$  LFSR de longitud máxima (PN-secuencia)  
 $T = 2^L - 1$ .

## Definition

La **complejidad lineal** de una secuencia es la longitud del mínimo LFSR que genera dicha secuencia.

## Example

Consideremos  $p(x) = 1 + x + x^3$  un polinomio primitivo sobre  $\mathbb{F}_2[x]$  y  $(100)$ .

# Linear feedback shift register

PN-secuencias entrelazadas de polinomios diferentes

S. D. Cardell, A. Fúster Sabater, V. Requena

Motivación

Preliminares

Generadores de secuencias

Entrelazando PN-secuencias

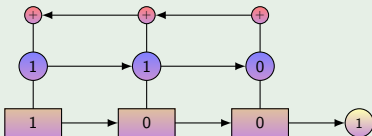
Entrelazando PN-secuencias con un único polinomio

Entrelazando PN-secuencias con polinomios diferentes

Comparación con otros generadores de secuencias

## Example

Consideremos  $p(x) = 1 + x + x^3$  un polinomio primitivo sobre  $\mathbb{F}_2[x]$  y (100).



# Linear feedback shift register

PN-  
secuencias  
entrelazadas  
de polinomios  
diferentes

S. D.  
Cardell,  
A. Fúster  
Sabater,  
V.  
Requena

Motivación

Preliminares

Generadores  
de  
secuencias

Entrelazando  
PN-  
secuencias

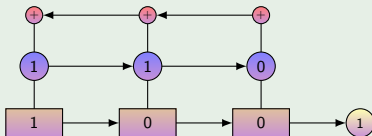
Entrelazando  
PN-secuencias  
con un único  
polinomio

Entrelazando  
PN-secuencias  
con  
polinomios  
diferentes

Comparación  
con otros  
generadores  
de  
secuencias

## Example

Consideremos  $p(x) = 1 + x + x^3$  un polinomio primitivo sobre  $\mathbb{F}_2[x]$  y (100).



PN-secuencia: 1 0 0 1 0 1 1...

Período:  $T = 2^3 - 1 = 7$

PN-  
secuencias  
entre-  
lazadas de  
polinomios  
diferentes

S. D.  
Cardell,  
A. Fúster  
Sabater,  
V.  
Requena

Motivación

Preliminares

Generadores  
de  
secuencias

Entrelazando  
PN-  
secuencias

Entrelazando  
PN-secuencias  
con un único  
polinomio

Entrelazando  
PN-secuencias  
con  
polinomios  
diferentes

Comparación  
con otros  
generadores  
de  
secuencias

LFSR **NUNCA** se utiliza como generador:

PN-  
secuencias  
entre-  
lazadas de  
polinomios  
diferentes

S. D.  
Cardell,  
A. Fúster  
Sabater,  
V.  
Requena

Motivación

Preliminares

Generadores  
de  
secuencias

Entrelazando  
PN-  
secuencias

Entrelazando  
PN-secuencias  
con un único  
polinomio

Entrelazando  
PN-secuencias  
con  
polinomios  
diferentes

Comparación  
con otros  
generadores  
de  
secuencias

LFSR **NUNCA** se utiliza como generador:

■ **LFSR + NO LINEAL**

LFSR **NUNCA** se utiliza como generador:

- LFSR + NO LINEAL
- combinación de LFSRs

LFSR **NUNCA** se utiliza como generador:

- LFSR + NO LINEAL
- combinación de LFSRs
- **clock-controlled registers**

LFSR **NUNCA** se utiliza como generador:

- LFSR + NO LINEAL
- combinación de LFSRs
- clock-controlled registers
- **decimación, ...**

PN-  
secuencias  
entre-  
lazadas de  
polinomios  
diferentes

S. D.  
Cardell,  
A. Fúster  
Sabater,  
V.  
Requena

Motivación

Preliminares

Generadores  
de  
secuencias

Entrelazando  
PN-  
secuencias

Entrelazando  
PN-secuencias  
con un único  
polinomio

Entrelazando  
PN-secuencias  
con  
polinomios  
diferentes

Comparación  
con otros  
generadores  
de  
secuencias

## 1 Motivación

## 2 Preliminares

## 3 Generadores de secuencias

## 4 Entrelazando PN-secuencias

- Entrelazando PN-secuencias con un único polinomio
- Entrelazando PN-secuencias con polinomios diferentes

## 5 Comparación con otros generadores de secuencias



Coppersmith, D., Krawczyk, H., Mansour, Y.

## The shrinking generator,

*Advances in Cryptology—CRYPTO '93, Lecture Notes in Computer Science*, vol. 773, pp. 22–39, 1994.



Coppersmith, D., Krawczyk, H., Mansour, Y.

## The shrinking generator,

*Advances in Cryptology—CRYPTO '93, Lecture Notes in Computer Science*, vol. 773, pp. 22–39, 1994.

- Sean  $R_1$  y  $R_2$  LFSRs de máxima longitud  $L_1, L_2$ , con  $\text{mcd}(L_1, L_2) = 1$ .



Coppersmith, D., Krawczyk, H., Mansour, Y.

The shrinking generator,

*Advances in Cryptology—CRYPTO '93, Lecture Notes in Computer Science*, vol. 773, pp. 22–39, 1994.

- Sean  $R_1$  y  $R_2$  LFSRs de máxima longitud  $L_1, L_2$ , con  $\text{mcd}(L_1, L_2) = 1$ .
- Sean  $p_1(x), p_2(x) \in \mathbb{F}_2[x]$ , con grados  $L_1, L_2$ , los polinomios característicos de  $R_1, R_2$ .



Coppersmith, D., Krawczyk, H., Mansour, Y.

The shrinking generator,

*Advances in Cryptology—CRYPTO '93, Lecture Notes in Computer Science*, vol. 773, pp. 22–39, 1994.

- Sean  $R_1$  y  $R_2$  LFSRs de máxima longitud  $L_1, L_2$ , con  $\text{mcd}(L_1, L_2) = 1$ .
- Sean  $p_1(x), p_2(x) \in \mathbb{F}_2[x]$ , con grados  $L_1, L_2$ , los polinomios característicos de  $R_1, R_2$ .
- La PN-secuencia  $\{a_i\}$  generada por  $R_1$  decima la PN-secuencia  $\{b_i\}$  producida por el otro registro  $R_2$ .



Coppersmith, D., Krawczyk, H., Mansour, Y.

The shrinking generator,

*Advances in Cryptology—CRYPTO '93, Lecture Notes in Computer Science*, vol. 773, pp. 22–39, 1994.

- Sean  $R_1$  y  $R_2$  LFSRs de máxima longitud  $L_1, L_2$ , con  $\text{mcd}(L_1, L_2) = 1$ .
- Sean  $p_1(x), p_2(x) \in \mathbb{F}_2[x]$ , con grados  $L_1, L_2$ , los polinomios característicos de  $R_1, R_2$ .
- La PN-secuencia  $\{a_i\}$  generada por  $R_1$  decima la PN-secuencia  $\{b_i\}$  producida por el otro registro  $R_2$ .
- La regla de decimación satisface que:

$$\begin{cases} \text{Si } a_i = 1, \text{ entonces } s_j = b_i. \\ \text{Si } a_i = 0, \text{ entonces } b_i \text{ se descarta.} \end{cases}$$



Coppersmith, D., Krawczyk, H., Mansour, Y.

The shrinking generator,

*Advances in Cryptology—CRYPTO '93, Lecture Notes in Computer Science*, vol. 773, pp. 22–39, 1994.

- Sean  $R_1$  y  $R_2$  LFSRs de máxima longitud  $L_1, L_2$ , con  $\text{mcd}(L_1, L_2) = 1$ .
- Sean  $p_1(x), p_2(x) \in \mathbb{F}_2[x]$ , con grados  $L_1, L_2$ , los polinomios característicos de  $R_1, R_2$ .
- La PN-secuencia  $\{a_i\}$  generada por  $R_1$  decima la PN-secuencia  $\{b_i\}$  producida por el otro registro  $R_2$ .
- La regla de decimación satisface que:

$$\begin{cases} \text{Si } a_i = 1, \text{ entonces } s_j = b_i. \\ \text{Si } a_i = 0, \text{ entonces } b_i \text{ se descarta.} \end{cases}$$

- $\{s_j\}$  se conoce como *secuencia shrunken* ( $T = (2^{L_2} - 1)2^{L_1 - 1}$ ).



Coppersmith, D., Krawczyk, H., Mansour, Y.

The shrinking generator,

*Advances in Cryptology—CRYPTO '93, Lecture Notes in Computer Science*, vol. 773, pp. 22–39, 1994.

- Sean  $R_1$  y  $R_2$  LFSRs de máxima longitud  $L_1, L_2$ , con  $\text{mcd}(L_1, L_2) = 1$ .
- Sean  $p_1(x), p_2(x) \in \mathbb{F}_2[x]$ , con grados  $L_1, L_2$ , los polinomios característicos de  $R_1, R_2$ .
- La PN-secuencia  $\{a_i\}$  generada por  $R_1$  decima la PN-secuencia  $\{b_i\}$  producida por el otro registro  $R_2$ .
- La regla de decimación satisface que:

$$\begin{cases} \text{Si } a_i = 1, \text{ entonces } s_j = b_i. \\ \text{Si } a_i = 0, \text{ entonces } b_i \text{ se descarta.} \end{cases}$$

- $\{s_j\}$  se conoce como *secuencia shrunken* ( $T = (2^{L_2} - 1)2^{L_1 - 1}$ ).
- $L_2 2^{L_1 - 2} < LC \leq L_2 2^{L_1 - 1}$  y su polinomio característico es  $p(x)^m$ , donde  $2^{L_1 - 2} < m \leq 2^{L_1 - 1}$  y  $p(x)$  es un polinomio primitivo de grado  $L_2$ .

## Example

Sean  $R_1$  y  $R_2$ , LFSRs con  $p_1(x) = 1 + x + x^2$  y  $p_2(x) = 1 + x^2 + x^3$ , y estados iniciales (11) y (111).

## Example

Sean  $R_1$  y  $R_2$ , LFSRs con  $p_1(x) = 1 + x + x^2$  y  $p_2(x) = 1 + x^2 + x^3$ , y estados iniciales (11) y (111).

$R_1$  : 1 1 0 1 1 0 1 1 0 1 1 0 1 1 0 1 1 0  
 $R_2$  : 1 1 ~~X~~ 0 1 ~~X~~ 0 1 ~~X~~ 1 0 ~~X~~ 0 0 ~~X~~ 1 1 ~~X~~ 1 0 ~~X~~  
{ $s_j$ } : **1 1 0 1 0 1 1 0**

## Example

Sean  $R_1$  y  $R_2$ , LFSRs con  $p_1(x) = 1 + x + x^2$  y  $p_2(x) = 1 + x^2 + x^3$ , y estados iniciales (11) y (111).

$$\begin{aligned} R_1 &: 110110110110110110110 \\ R_2 &: 11\cancel{0}1\cancel{0}01\cancel{0}01\cancel{1}10\cancel{0}00\cancel{1}11\cancel{0}10\cancel{0} \\ \{s_j\} &: \mathbf{11 \quad 01 \quad 01 \quad 10 \quad 00 \quad 11 \quad 10} \end{aligned}$$

$$T = 14 = (2^3 - 1)2^{2-1}, p(x)^2 = (1 + x + x^3)^2 \text{ y } LC = 6 \text{ es máxima.}$$

PN-  
secuencias  
entre-  
lazadas de  
polinomios  
diferentes

S. D.  
Cardell,  
A. Fúster  
Sabater,  
V.  
Requena

Motivación

Preliminares

Generadores  
de  
secuencias

Entrelazando  
PN-  
secuencias

Entrelazando  
PN-secuencias  
con un único  
polinomio

Entrelazando  
PN-secuencias  
con  
polinomios  
diferentes

Comparación  
con otros  
generadores  
de  
secuencias

## 1 Motivación

## 2 Preliminares

## 3 Generadores de secuencias

## 4 Entrelazando PN-secuencias

- Entrelazando PN-secuencias con un único polinomio
- Entrelazando PN-secuencias con polinomios diferentes

## 5 Comparación con otros generadores de secuencias

## Definition

La **decimación** de la secuencia  $\{s_i\}$  por (distancia)  $\delta$  es la nueva secuencia  $\{u_i\} = \{s_{\delta \cdot i}\}$ , obtenida tomando cada  $\delta$ -ésimo término de dicha secuencia.

## Definition

La **decimación** de la secuencia  $\{s_i\}$  por (distancia)  $\delta$  es la nueva secuencia  $\{u_i\} = \{s_{\delta \cdot i}\}$ , obtenida tomando cada  $\delta$ -ésimo término de dicha secuencia.



Cardell, S.D., Fúster-Sabater, A.

Modelling the shrinking generator in terms of linear CA.

*Adv. Math. Commun.* vol.10, pp. 797–809, 2016.

## Definition

La **decimación** de la secuencia  $\{s_i\}$  por (distancia)  $\delta$  es la nueva secuencia  $\{u_i\} = \{s_{\delta \cdot i}\}$ , obtenida tomando cada  $\delta$ -ésimo término de dicha secuencia.



Cardell, S.D., Fúster-Sabater, A.

Modelling the shrinking generator in terms of linear CA.

*Adv. Math. Commun.* vol.10, pp. 797–809, 2016.

## Theorem

*Las secuencias obtenidas decimando por (distancia)  $2^{L_1-1}$  la secuencia shrunken son PN-secuencias con periodo  $T_2$ . A estas secuencias las llamamos PN-secuencias entrelazadas de la secuencia shrunken.*

## Definition

La **decimación** de la secuencia  $\{s_i\}$  por (distancia)  $\delta$  es la nueva secuencia  $\{u_i\} = \{s_{\delta \cdot i}\}$ , obtenida tomando cada  $\delta$ -ésimo término de dicha secuencia.



Cardell, S.D., Fúster-Sabater, A.

Modelling the shrinking generator in terms of linear CA.

*Adv. Math. Commun.* vol.10, pp. 797–809, 2016.

## Theorem

*Las secuencias obtenidas decimando por (distancia)  $2^{L_1-1}$  la secuencia shrunken son PN-secuencias con periodo  $T_2$ . A estas secuencias las llamamos PN-secuencias entrelazadas de la secuencia shrunken.*

## Theorem

*El polinomio primitivo  $p(x)$  que genera las PN-secuencias entrelazadas de la secuencia shrunken es*

$$p(x) = (x + \alpha^{T_1})(x + \alpha^{2T_1})(x + \alpha^{4T_1}) \cdots (x + \alpha^{2^{L_2-1}T_1}), \quad (1)$$

*donde  $\alpha \in \mathbb{F}_{2^{L_2}}$  es una raíz primitiva del polinomio  $p_2(x)$ .*

## Example

Sean  $R_1$  y  $R_2$  dos LFSRs con polinomios característicos  $p_1(x) = 1 + x^2 + x^3$  y  $p_2(x) = 1 + x^3 + x^4$  y estados iniciales (111) y (1111).

## Example

Sean  $R_1$  y  $R_2$  dos LFSRs con polinomios característicos  $p_1(x) = 1 + x^2 + x^3$  y  $p_2(x) = 1 + x^3 + x^4$  y estados iniciales (111) y (1111). La secuencia shrunken es

$$\{s_j\} = (111011010111011000111010000101 \\ 011001101101001100001011111000)$$

## Example

Sean  $R_1$  y  $R_2$  dos LFSRs con polinomios característicos  $p_1(x) = 1 + x^2 + x^3$  y  $p_2(x) = 1 + x^3 + x^4$  y estados iniciales (111) y (1111). La secuencia shrunken es

$$\{s_j\} = (111011010111011000111010000101 \\ 011001101101001100001011111000)$$

con  $T = (2^{L_2} - 1)2^{L_1 - 1} = 60$  y  $p(x)^4 = (1 + x + x^4)^4$ , con  $LC = 16$ .

## Example

Sean  $R_1$  y  $R_2$  dos LFSRs con polinomios característicos  $p_1(x) = 1 + x^2 + x^3$  y  $p_2(x) = 1 + x^3 + x^4$  y estados iniciales (111) y (1111). La secuencia shrunken es

$$\{s_j\} = (111011010111011000111010000101 \\ 011001101101001100001011111000)$$

con  $T = (2^{L_2} - 1)2^{L_1 - 1} = 60$  y  $p(x)^4 = (1 + x + x^4)^4$ , con  $LC = 16$ .

Si decimos la secuencia shrunken por  $\delta = 4$ , obtenemos las 4 PN-secuencias

$$\begin{aligned} \{s_{4 \cdot j}\} &: (110001001101011) \\ \{s_{4 \cdot j+1}\} &: (111100010011010) \\ \{s_{4 \cdot j+2}\} &: (101111000100110) \\ \{s_{4 \cdot j+3}\} &: (011010111100010) \end{aligned}$$

# Secuencia Shrunken - entrelazamientos de PN-secuencias

PN-  
secuencias  
entrelazadas de  
polinomios  
diferentes

S. D.  
Cardell,  
A. Fúster  
Sabater,  
V.  
Requena

Motivación

Preliminares

Generadores  
de  
secuencias

Entrelazando  
PN-  
secuencias

Entrelazando  
PN-secuencias  
con un único  
polinomio

Entrelazando  
PN-secuencias  
con  
polinomios  
diferentes

Comparación  
con otros  
generadores  
de  
secuencias

$$\{s_j\} = (111011010111011000111010000101 \\ 011001101101001100001011111000).$$

con las 4 PN-secuencias

$$\begin{aligned} \{s_{4 \cdot j}\} &: (110001001101011) \\ \{s_{4 \cdot j+1}\} &: (111100010011010) \\ \{s_{4 \cdot j+2}\} &: (101111000100110) \\ \{s_{4 \cdot j+3}\} &: (011010111100010) \end{aligned}$$

$$\{s_j\} = (\begin{array}{cccccccccccccccccccc} 1 & 1 & 1 & 0 & 1 & 1 & 0 & 1 & 0 & 1 & 1 & 1 & 0 & 1 & 1 & 0 & 0 & 0 & 1 & 1 & 1 & 0 & 1 & 0 & 0 & 0 & 0 & 1 & 0 & 1 \\ 0 & 1 & 1 & 0 & 0 & 1 & 1 & 0 & 1 & 1 & 0 & 1 & 0 & 0 & 1 & 1 & 0 & 0 & 0 & 0 & 1 & 0 & 1 & 1 & 1 & 1 & 1 & 0 & 0 & 0 & 0 \end{array}).$$

con las 4 PN-secuencias

$$\begin{aligned} \{s_{4 \cdot j}\} &: (1100010011101011) \\ \{s_{4 \cdot j+1}\} &: (1111000100111010) \\ \{s_{4 \cdot j+2}\} &: (1011110001001110) \\ \{s_{4 \cdot j+3}\} &: (0110101111100010) \end{aligned}$$

El polinomio característico de estas 4 PN-secuencias entrelazadas es

$$p(x) = (x + \alpha^7) (x + \alpha^{14}) (x + \alpha^{28}) (x + \alpha^{56}) = 1 + x + x^4$$

donde  $\alpha \in \mathbb{F}_{2^L_2}$  es una raíz de  $p_2(x)$  y  $p(x)$  es el polinomio recíproco de  $p_2(x)$ .

$$\{s_j\} = (\begin{array}{cccccccccccccccccccc} 1 & 1 & 1 & 0 & 1 & 1 & 0 & 1 & 0 & 1 & 1 & 1 & 0 & 1 & 1 & 0 & 0 & 0 & 1 & 1 & 1 & 0 & 1 & 0 & 0 & 0 & 0 & 1 & 0 & 1 \\ 0 & 1 & 1 & 0 & 0 & 1 & 1 & 0 & 1 & 1 & 0 & 1 & 0 & 0 & 1 & 1 & 0 & 0 & 0 & 0 & 1 & 0 & 1 & 1 & 1 & 1 & 1 & 0 & 0 & 0 & 0 \end{array}).$$

con las 4 PN-secuencias

$$\begin{aligned} \{s_{4 \cdot j}\} &: (1100010011101011) \\ \{s_{4 \cdot j+1}\} &: (1111000100111010) \\ \{s_{4 \cdot j+2}\} &: (1011110001001110) \\ \{s_{4 \cdot j+3}\} &: (0110101111100010) \end{aligned}$$

El polinomio característico de estas 4 PN-secuencias entrelazadas es

$$p(x) = (x + \alpha^7) (x + \alpha^{14}) (x + \alpha^{28}) (x + \alpha^{56}) = 1 + x + x^4$$

donde  $\alpha \in \mathbb{F}_{2^L_2}$  es una raíz de  $p_2(x)$  y  $p(x)$  es el polinomio recíproco de  $p_2(x)$ .

## NOTA:

- Las 4 PN-secuencias son versiones desplazadas de la misma PN-secuencia.

$$\{s_j\} = (\begin{matrix} 111011010111011000111010000101 \\ 011001101101001100001011111000 \end{matrix}).$$

con las 4 PN-secuencias

$$\begin{aligned} \{s_{4 \cdot j}\} &: (110001001101011) \\ \{s_{4 \cdot j+1}\} &: (111100010011010) \\ \{s_{4 \cdot j+2}\} &: (101111000100110) \\ \{s_{4 \cdot j+3}\} &: (011010111100010) \end{aligned}$$

El polinomio característico de estas 4 PN-secuencias entrelazadas es

$$p(x) = (x + \alpha^7) (x + \alpha^{14}) (x + \alpha^{28}) (x + \alpha^{56}) = 1 + x + x^4$$

donde  $\alpha \in \mathbb{F}_{2^{L_2}}$  es una raíz de  $p_2(x)$  y  $p(x)$  es el polinomio recíproco de  $p_2(x)$ .

## NOTA:

- Las 4 PN-secuencias son versiones desplazadas de la misma PN-secuencia.
- El polinomio característico de las PN-secuencias se obtiene a partir de los polinomios del generador shrinking.

$$\{s_j\} = (\begin{matrix} 111011010111011000111010000101 \\ 011001101101001100001011111000 \end{matrix}).$$

con las 4 PN-secuencias

$$\begin{aligned} \{s_{4 \cdot j}\} &: (110001001101011) \\ \{s_{4 \cdot j+1}\} &: (111100010011010) \\ \{s_{4 \cdot j+2}\} &: (101111000100110) \\ \{s_{4 \cdot j+3}\} &: (011010111100010) \end{aligned}$$

El polinomio característico de estas 4 PN-secuencias entrelazadas es

$$p(x) = (x + \alpha^7) (x + \alpha^{14}) (x + \alpha^{28}) (x + \alpha^{56}) = 1 + x + x^4$$

donde  $\alpha \in \mathbb{F}_{2^{L_2}}$  es una raíz de  $p_2(x)$  y  $p(x)$  es el polinomio recíproco de  $p_2(x)$ .

## NOTA:

- Las 4 PN-secuencias son versiones desplazadas de la misma PN-secuencia.
- El polinomio característico de las PN-secuencias se obtiene a partir de los polinomios del generador shrinking.
- Los desplazamientos de las secuencias desplazadas también se pueden obtener a través de los LFSRs de entrada.

## Definition

Llamamos *secuencia  $t$ -entrelazada* a la secuencia  $\{s_j\}$  obtenida entrelazando las sucesiones  $\{u_i^{(1)}\}$ ,  $\{u_i^{(2)}\}$ ,  $\dots$ ,  $\{u_i^{(t)}\}$ , todas ellas de periodo  $T$ ,

$$\{s_j\} = \left( u_0^{(1)}, u_0^{(2)}, \dots, u_0^{(t)}, u_1^{(1)}, u_1^{(2)}, \dots, \right. \\ \left. u_1^{(t)}, \dots, u_{T-1}^{(1)}, u_{T-1}^{(2)}, \dots, u_{T-1}^{(t)} \right).$$

## Definition

Llamamos *secuencia  $t$ -entrelazada* a la secuencia  $\{s_j\}$  obtenida entrelazando las sucesiones  $\{u_i^{(1)}\}$ ,  $\{u_i^{(2)}\}$ ,  $\dots$ ,  $\{u_i^{(t)}\}$ , todas ellas de periodo  $T$ ,

$$\{s_j\} = \left( u_0^{(1)}, u_0^{(2)}, \dots, u_0^{(t)}, u_1^{(1)}, u_1^{(2)}, \dots, \right. \\ \left. u_1^{(t)}, \dots, u_{T-1}^{(1)}, u_{T-1}^{(2)}, \dots, u_{T-1}^{(t)} \right).$$

## Theorem

*Consideremos un polinomio primitivo  $p(x)$  de grado  $L$ . Si entrelazamos  $t$  secuencias trasladadas de una PN-secuencia de periodo  $T = 2^L - 1$ , entonces la secuencia  $t$ -entrelazada resultante cumple que:  $LC \leq t \cdot L$  y  $T \leq t \cdot (2^L - 1)$ .*

## Definition

Llamamos *secuencia  $t$ -entrelazada* a la secuencia  $\{s_j\}$  obtenida entrelazando las sucesiones  $\{u_i^{(1)}\}$ ,  $\{u_i^{(2)}\}$ ,  $\dots$ ,  $\{u_i^{(t)}\}$ , todas ellas de periodo  $T$ ,

$$\{s_j\} = \left( u_0^{(1)}, u_0^{(2)}, \dots, u_0^{(t)}, u_1^{(1)}, u_1^{(2)}, \dots, \right. \\ \left. u_1^{(t)}, \dots, u_{T-1}^{(1)}, u_{T-1}^{(2)}, \dots, u_{T-1}^{(t)} \right).$$

Las secuencias  $t$ -entrelazadas obtenidas con PN-secuencias del mismo polinomio primitivo son estudiadas en



Cardell, S.D., Fúster-Sabater, A., Requena, V.  
Interleaving Shifted Versions of a PN-Sequence,  
*Mathematics*, vol. 9, n.68, pp. 1–23, 2021.

# Entrelazando PN-secuencias con polinomios diferentes

PN-  
secuencias  
entrelazadas de  
polinomios  
diferentes

S. D.  
Cardell,  
A. Fuster  
Sabater,  
V.  
Requena

Sean  $p_1(x), p_2(x), \dots, p_t(x)$  polinomios característicos de grado  $L$  de los LFSRs  $R_1, R_2, \dots, R_t$ . Dadas las PN-secuencias  $\{a_i^{(k)}\}$ , generadas por  $R_k$ , para  $k = 1, 2, \dots, t$ , definimos la **secuencia  $t$ -entrelazada**  $\{s_j\}$  como

$$\{s_j\} = \left( a_0^{(1)}, a_0^{(2)}, \dots, a_0^{(t)}, a_1^{(1)}, a_1^{(2)}, \dots, a_1^{(t)}, \dots, a_{L-1}^{(1)}, a_{L-1}^{(2)}, \dots, a_{L-1}^{(t)}, \dots \right).$$

Motivación

Preliminares

Generadores  
de  
secuencias

Entrelazando  
PN-  
secuencias

Entrelazando  
PN-secuencias  
con un único  
polinomio

Entrelazando  
PN-secuencias  
con  
polinomios  
diferentes

Comparación  
con otros  
generadores  
de  
secuencias

# Entrelazando PN-secuencias con polinomios diferentes

Sean  $p_1(x), p_2(x), \dots, p_t(x)$  polinomios característicos de grado  $L$  de los LFSRs  $R_1, R_2, \dots, R_t$ . Dadas las PN-secuencias  $\{a_i^{(k)}\}$ , generadas por  $R_k$ , para  $k = 1, 2, \dots, t$ , definimos la **secuencia  $t$ -entrelazada**  $\{s_j\}$  como

$$\{s_j\} = \left( a_0^{(1)}, a_0^{(2)}, \dots, a_0^{(t)}, a_1^{(1)}, a_1^{(2)}, \dots, a_1^{(t)}, \dots, a_{L-1}^{(1)}, a_{L-1}^{(2)}, \dots, a_{L-1}^{(t)}, \dots \right).$$

## Theorem

Sea  $\{s_j\}$  la secuencia  $t$ -entrelazada obtenida a partir de  $t$  PN-secuencias producidas por diferentes polinomios primitivos  $p_1(x), \dots, p_t(x)$  de grado  $L$ .  
Tenemos que

$$LC = t^2L \quad \text{y} \quad p(x) = \prod_{i=1}^t p_i(x^t).$$

# Entrelazando PN-secuencias con polinomios diferentes

Sean  $p_1(x), p_2(x), \dots, p_t(x)$  polinomios característicos de grado  $L$  de los LFSRs  $R_1, R_2, \dots, R_t$ . Dadas las PN-secuencias  $\{a_i^{(k)}\}$ , generadas por  $R_k$ , para  $k = 1, 2, \dots, t$ , definimos la **secuencia  $t$ -entrelazada**  $\{s_j\}$  como

$$\{s_j\} = \left( a_0^{(1)}, a_0^{(2)}, \dots, a_0^{(t)}, a_1^{(1)}, a_1^{(2)}, \dots, a_1^{(t)}, \dots, a_{L-1}^{(1)}, a_{L-1}^{(2)}, \dots, a_{L-1}^{(t)}, \dots \right).$$

## Theorem

Sea  $\{s_j\}$  la secuencia  $t$ -entrelazada obtenida a partir de  $t$  PN-secuencias producidas por diferentes polinomios primitivos  $p_1(x), \dots, p_t(x)$  de grado  $L$ . Tenemos que

$$LC = t^2 L \quad \text{y} \quad p(x) = \prod_{i=1}^t p_i(x^t).$$

## Corollary

Sea  $t = 2^r$ , con  $r \in \mathbb{N}$ . El polinomio característico de una secuencia  $t$ -entrelazada, generada a partir de  $t$  polinomios primitivos distintos  $p_1(x), \dots, p_t(x)$  de grado  $L$ , es

$$p(x) = [p_1(x) \cdot p_2(x) \cdots p_{t-1}(x) \cdot p_t(x)]^t.$$

## Example

Sean  $p_1(x) = 1 + x^2 + x^5$ ,  $p_2(x) = 1 + x + x^2 + x^4 + x^5$  y  
 $p_3(x) = 1 + x + x^2 + x^3 + x^5$ , y los estados iniciales  $\{11101\}$ ,  $(10001)$  y  
 $(10101)$ .

## Example

Sean  $p_1(x) = 1 + x^2 + x^5$ ,  $p_2(x) = 1 + x + x^2 + x^4 + x^5$  y  $p_3(x) = 1 + x + x^2 + x^3 + x^5$ , y los estados iniciales  $\{11101\}$ ,  $(10001)$  y  $(10101)$ . Las correspondientes PN-secuencias son

$$\{a_i^{(1)}\} : (1110101000010010110011111000110)$$

$$\{a_i^{(2)}\} : (1000100101011000011100110111110)$$

$$\{a_i^{(3)}\} : (1010100011101111100100110000101).$$

## Example

Sean  $p_1(x) = 1 + x^2 + x^5$ ,  $p_2(x) = 1 + x + x^2 + x^4 + x^5$  y  $p_3(x) = 1 + x + x^2 + x^3 + x^5$ , y los estados iniciales  $\{11101\}$ ,  $(10001)$  y  $(10101)$ . Las correspondientes PN-secuencias son

$$\{a_i^{(1)}\} : (1110101000010010110011111000110)$$

$$\{a_i^{(2)}\} : (1000100101011000011100110111110)$$

$$\{a_i^{(3)}\} : (1010100011101111100100110000101).$$

La secuencia 3-entrelazada:

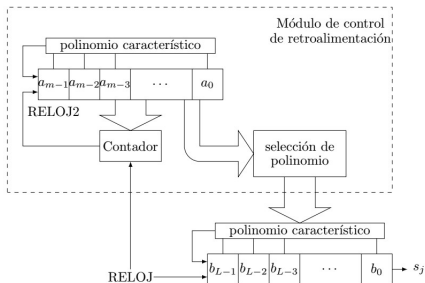
$$(111100101000111000100010001011001110011001101 \\ 001101110010011100100111111100010010010111110001)$$

tiene periodo  $T = 3(2^5 - 1) = 93$ ,  $LC = 3^2 \cdot 5 = 45$  y

$$\begin{aligned} p(x) &= 1 + x^9 + x^{24} + x^{27} + x^{39} + x^{42} + x^{45} \\ &= (1 + x^6 + x^{15})(1 + x^3 + x^6 + x^{12} + x^{15})(1 + x^3 + x^6 + x^9 + x^{15}) \\ &= p_1(x^3) \cdot p_2(x^3) \cdot p_3(x^3) \end{aligned}$$

# Dynamic Linear Feedback Shift Register

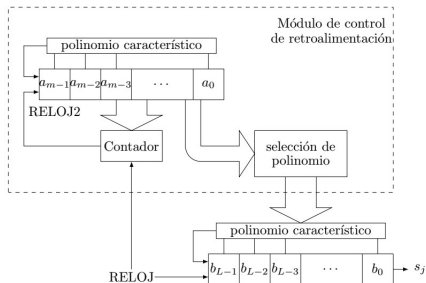
Figure: DLFSR



- Un DLFSR es un tipo de LFSR en el que el polinomio característico cambia en cierto instante.

# Dynamic Linear Feedback Shift Register

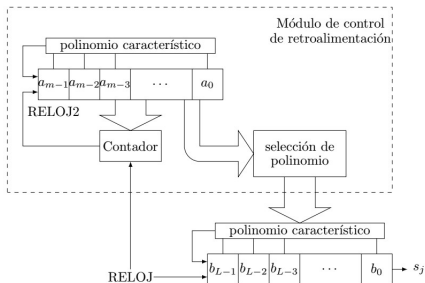
Figure: DLFSR



- Un DLFSR es un tipo de LFSR en el que el polinomio característico cambia en cierto instante.
- Las secuencias generadas son la concatenación de segmentos de diferentes PN-secuencias.

# Dynamic Linear Feedback Shift Register

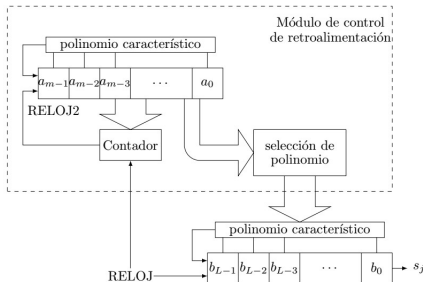
Figure: DLFSR



- Un DLFSR es un tipo de LFSR en el que el polinomio característico cambia en cierto instante.
- Las secuencias generadas son la concatenación de segmentos de diferentes PN-secuencias.
- **Objetivo: generar secuencias con mayor periodo y complejidad lineal.**

# Dynamic Linear Feedback Shift Register

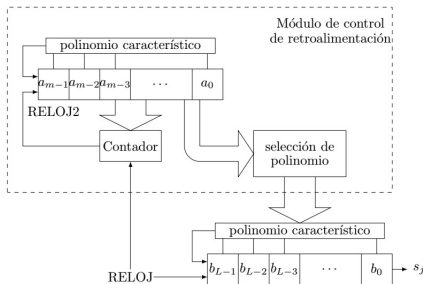
Figure: DLFSR



- Un DLFSR es un tipo de LFSR en el que el polinomio característico cambia en cierto instante.
- Las secuencias generadas son la concatenación de segmentos de diferentes PN-secuencias.
- Objetivo: generar secuencias con mayor periodo y complejidad lineal.
- Método de entrelazado = la concatenación de la salida de  $t$  LFSRs en cada instante de tiempo.

# Dynamic Linear Feedback Shift Register

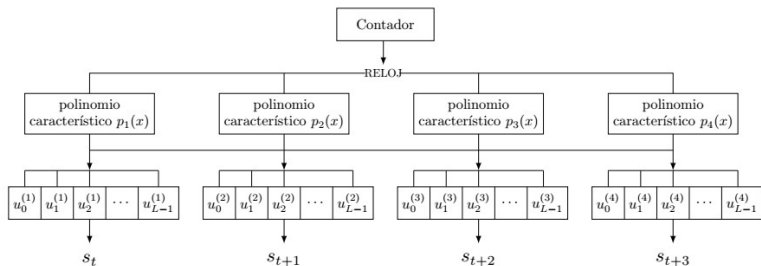
Figure: DLFSR



- Un DLFSR es un tipo de LFSR en el que el polinomio característico cambia en cierto instante.
- Las secuencias generadas son la concatenación de segmentos de diferentes PN-secuencias.
- Objetivo: generar secuencias con mayor periodo y complejidad lineal.
- Método de entrelazado = la concatenación de la salida de  $t$  LFSRs en cada instante de tiempo.

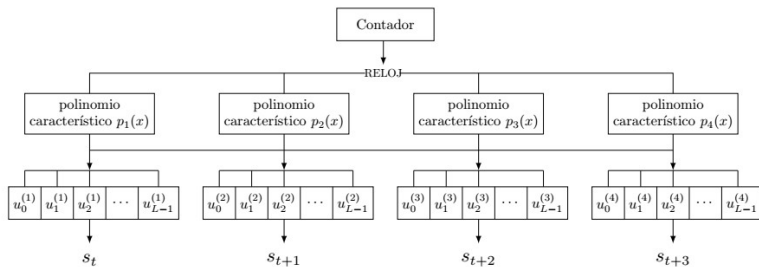
# Dynamic Linear Feedback Shift Register

Figure: Generar una secuencia 4-entrelazada a partir de un DLFSR



# Dynamic Linear Feedback Shift Register

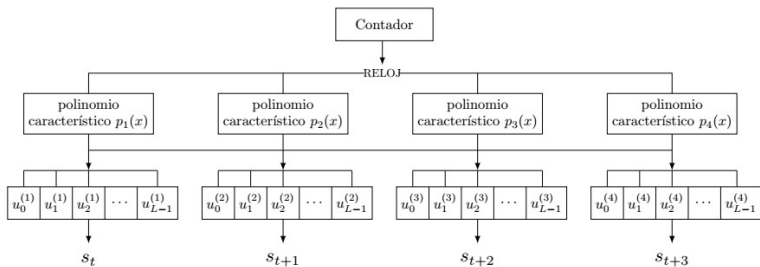
Figure: Generar una secuencia 4-entrelazada a partir de un DLFSR



- Método de entrelazado  $\approx$  método de generación de un DLFSR.

# Dynamic Linear Feedback Shift Register

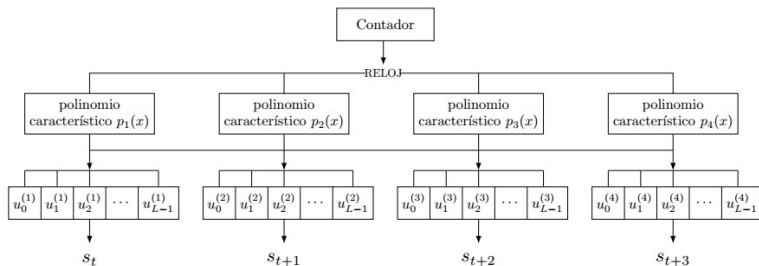
Figure: Generar una secuencia 4-entrelazada a partir de un DLFSR



- Método de entrelazado  $\approx$  método de generación de un DLFSR.
- El polinomio característico cambia según el módulo contador.

# Dynamic Linear Feedback Shift Register

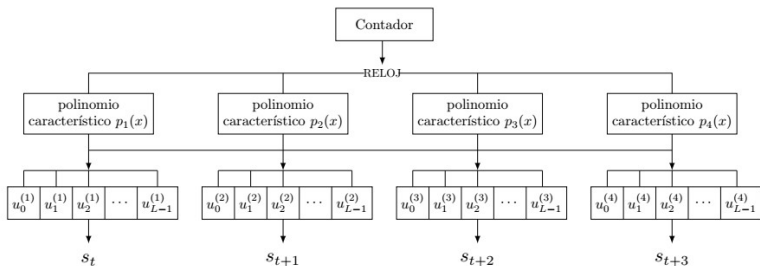
Figure: Generar una secuencia 4-entrelazada a partir de un DLFSR



- Método de entrelazado  $\approx$  método de generación de un DLFSR.
- El polinomio característico cambia según el módulo contador.
- En cada pulso de reloj consideramos un polinomio primitivo diferente.

# Dynamic Linear Feedback Shift Register

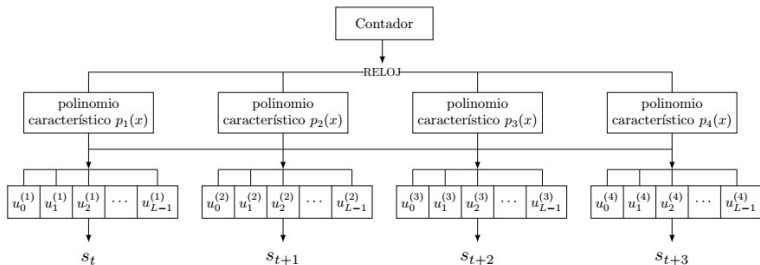
Figure: Generar una secuencia 4-entrelazada a partir de un DLFSR



- Método de entrelazado  $\approx$  método de generación de un DLFSR.
- El polinomio característico cambia según el módulo contador.
- En cada pulso de reloj consideramos un polinomio primitivo diferente.
- Se genera un bit del LFSR correspondiente en ese instante y saltamos del polinomio actual al siguiente.

# Dynamic Linear Feedback Shift Register

Figure: Generar una secuencia 4-entrelazada a partir de un DLFSR



- Método de entrelazado  $\approx$  método de generación de un DLFSR.
- El polinomio característico cambia según el módulo contador.
- En cada pulso de reloj consideramos un polinomio primitivo diferente.
- Se genera un bit del LFSR correspondiente en ese instante y saltamos del polinomio actual al siguiente.
- **Secuencia entrelazada = concatenación de la salida de  $t$  LFSRs en cada instante de tiempo.**

## Example

Sean  $p_1(x) = p_2(x) = 1 + x^2 + x^5$ ,  $p_3(x) = 1 + x + x^2 + x^3 + x^5$  y  $p_4(x) = 1 + x^2 + x^3 + x^4 + x^5$  y los estados iniciales  $\{10111\}$ ,  $\{11010\}$ ,  $\{00011\}$  y  $\{10110\}$ .

## Example

Sean  $p_1(x) = p_2(x) = 1 + x^2 + x^5$ ,  $p_3(x) = 1 + x + x^2 + x^3 + x^5$  y  $p_4(x) = 1 + x^2 + x^3 + x^4 + x^5$  y los estados iniciales  $\{10111\}$ ,  $\{11010\}$ ,  $\{00011\}$  y  $\{10110\}$ . La secuencia 4-entrelazada:

```
{1101010010011111101001111000001010100010011100  
1100000011000011011100001110111101010101011100  
11111001101110100100011000011110}
```

## Example

Sean  $p_1(x) = p_2(x) = 1 + x^2 + x^5$ ,  $p_3(x) = 1 + x + x^2 + x^3 + x^5$  y  $p_4(x) = 1 + x^2 + x^3 + x^4 + x^5$  y los estados iniciales  $\{10111\}$ ,  $\{11010\}$ ,  $\{00011\}$  y  $\{10110\}$ . La secuencia 4-entrelazada:

$$\{1101010010011111101001111000001010100010011100 \\ 1100000011000011011100001110111101010101011100 \\ 11111001101110100100011000011110\}$$

con  $T = 124$  y  $LC = 60$ , i.e.,  $LC \leq 80$ . Su polinomio característico

$$\begin{aligned} p(x) &= [p_1(x)p_3(x)p_4(x)]^4 \\ &= 1 + x^4 + x^8 + x^{16} + x^{20} + x^{24} + x^{36} + x^{56} + x^{60}. \end{aligned}$$

NO es el producto de los 4 polinomios ( $p_1(x) = p_2(x)$ ).

PN-  
secuencias  
entre-  
lazadas de  
polinomios  
diferentes

S. D.  
Cardell,  
A. Fúster  
Sabater,  
V.  
Requena

Motivación

Preliminares

Generadores  
de  
secuencias

Entrelazando  
PN-  
secuencias

Entrelazando  
PN-secuencias  
con un único  
polinomio

Entrelazando  
PN-secuencias  
con  
polinomios  
diferentes

Comparación  
con otros  
generadores  
de

## 1 Motivación

## 2 Preliminares

## 3 Generadores de secuencias

## 4 Entrelazando PN-secuencias

- Entrelazando PN-secuencias con un único polinomio
- Entrelazando PN-secuencias con polinomios diferentes

## 5 Comparación con otros generadores de secuencias

## NOTA:

- La secuencia shrunken se obtiene entrelazando  $2^{L_1-1}$  PN-secuencias desplazadas con polinomio primitivo de grado  $L_2$ .

## NOTA:

- La secuencia shrunken se obtiene entrelazando  $2^{L_1-1}$  PN-secuencias desplazadas con polinomio primitivo de grado  $L_2$ .
- Tomaremos  $t = 2^{L_1-1}$  PN-secuencias generadas por diferentes polinomios primitivos de grado  $L_2$ .

## NOTA:

- La secuencia shrunken se obtiene entrelazando  $2^{L_1-1}$  PN-secuencias desplazadas con polinomio primitivo de grado  $L_2$ .
- Tomaremos  $t = 2^{L_1-1}$  PN-secuencias generadas por diferentes polinomios primitivos de grado  $L_2$ .

**Table:** Comparación de los valores de  $LC$  y  $T$  de secuencias shrunken y  $t$ -entrelazadas.

	Secuencias shrunken	$t$ polinomios diferentes
$LC$	$2^{L_1-2} < LC \leq L_2 \cdot 2^{L_1-1}$	$L_2 \cdot 2^{2(L_1-1)}$
$T$	$(2^{L_2} - 1)2^{L_1-1}$	$(2^{L_2} - 1)2^{L_1-1}$

# $t$ -entrelazadas con un único polinomio VS $t$ -entrelazadas con polinomios diferentes

PN-  
secuencias  
entre-  
lazadas de  
polinomios  
diferentes

S. D.  
Cardell,  
A. Fúster  
Sabater,  
V.  
Requena

Motivación

Preliminares

Generadores  
de  
secuencias

Entrelazando  
PN-  
secuencias

Entrelazando  
PN-secuencias  
con un único  
polinomio

Entrelazando  
PN-secuencias  
con  
polinomios  
diferentes

Comparación  
con otros  
generadores  
de

**Table:** Comparación de los valores de  $LC$  y  $T$  de secuencias  $t$ -entrelazadas con un único polinomio y con polinomios distintos.

	$t$ polinomios diferentes		un único polinomio	
$(t, L)$	$LC$	$T$	$LC$	$T$
$(8,16)$	1024	524280	128	524280
$(8,17)$	1088	1048568	136	1048568
$(8,18)$	1152	2097144	144	2097144
$(8,19)$	1216	4194296	152	4194296
$(8,20)$	1280	8388600	160	8388600

- Entrelazar secuencias es una forma de aumentar la complejidad lineal de las secuencias y de romper la linealidad.

- Entrelazar secuencias es una forma de aumentar la complejidad lineal de las secuencias y de romper la linealidad.
- Análisis comparativo entre  $t$ -secuencias de un mismo polinomio primitivo y  $t$ -secuencias de polinomios primitivos diferentes.

- Entrelazar secuencias es una forma de aumentar la complejidad lineal de las secuencias y de romper la linealidad.
- Análisis comparativo entre  $t$ -secuencias de un mismo polinomio primitivo y  $t$ -secuencias de polinomios primitivos diferentes.
- Gran potencial uso de estas secuencias para propósitos criptográficos.

- Entrelazar secuencias es una forma de aumentar la complejidad lineal de las secuencias y de romper la linealidad.
- Análisis comparativo entre  $t$ -secuencias de un mismo polinomio primitivo y  $t$ -secuencias de polinomios primitivos diferentes.
- Gran potencial uso de estas secuencias para propósitos criptográficos.
- Análisis de la aleatoriedad de las secuencias  $t$ -entrelazadas.

- Entrelazar secuencias es una forma de aumentar la complejidad lineal de las secuencias y de romper la linealidad.
- Análisis comparativo entre  $t$ -secuencias de un mismo polinomio primitivo y  $t$ -secuencias de polinomios primitivos diferentes.
- Gran potencial uso de estas secuencias para propósitos criptográficos.
- Análisis de la aleatoriedad de las secuencias  $t$ -entrelazadas.
- Estudio del entrelazamiento de PN-secuencias con polinomios diferentes y de distintos grados.



S. W. Golomb, Shift Register-Sequences. Laguna Hill, California: Aegean Park Press, 1982.



Coppersmith, D., Krawczyk, H., Mansour, Y.

**The shrinking generator,**

*Advances in Cryptology—CRYPTO '93, Lecture Notes in Computer Science*, vol. 773, pp. 22–39, 1994.



Xiong, H., Qu, L., Li, C., Fu, S.

Linear complexity of binary sequences with interleaved structure,  
*IET Communications*, vol. 7, n. 15, pp.1688-1696, 2013.



Cardell, S.D., Fúster-Sabater, A.

Modelling the shrinking generator in terms of linear CA.  
*Adv. Math. Commun.* vol.10, pp. 797–809, 2016.



Cardell, S.D., Fúster-Sabater, A., Requena, V.

Interleaving Shifted Versions of a PN-Sequence,  
*Mathematics*, vol. 9, n.68, pp. 1–23, 2021.

¡¡MUCHAS GRACIAS!!

# PN-secuencias entrelazadas de polinomios diferentes

Sara D. Cardell<sup>1</sup>   Amparo Fúster Sabater<sup>2</sup>   **Verónica Requena<sup>3</sup>**

<sup>1</sup> Instituto de Matemática, Estatística e Computação Científica  
UNICAMP, Brazil

<sup>2</sup> Instituto de Tecnologías Físicas y de la Información  
C.S.I.C., Spain

<sup>3</sup>Departamento de Matemáticas  
Universidad de Alicante, Spain

RECSI 2022  
19 de octubre de 2022